

Archeo-rapport 100

Het archeologisch vooronderzoek aan de Kerkstraat te Hoeselt



Maarten Smeets (red.)

Archeo-rapport 100
Het archeologisch vooronderzoek aan de Kerkstraat te
Hoeselt

Maarten Smeets (red.)

Kessel-Lo, 2012
Studiebureau Archeologie bvba



Colofon

Archeo-rapport 100
Het archeologisch vooronderzoek aan de Kerkstraat te Hoeselt

Opdrachtgever:	Kolmont Woonprojecten NV
Projectleiding:	Maarten Smeets
Uitvoering veldwerk:	Maarten Smeets Wouter Yperman Marjolijn De Puydt
Redactie:	Maarten Smeets
Foto's en tekeningen:	Studiebureau Archeologie bvba (behalve figuren 1 t.e.m. 11)

Op alle teksten, foto's en tekeningen geldt een auteursrecht. Zonder voorafgaandelijke schriftelijke toestemming van Studiebureau Archeologie bvba mag niets uit deze uitgave worden vermenigvuldigd, bewerkt en/of openbaar gemaakt, hetzij door middel van webpublicatie, druk, fotokopie, microfilm of op welke andere wijze ook.

D/2012/12.825/13

Studiebureau Archeologie bvba
Jozef Wautersstraat 6
3010 Kessel-Lo
www.studiebureau-archeologie.be
info@studiebureau-archeologie.be
tel: 0474/58.77.85
fax: 016/77.05.41

©2012, Studiebureau Archeologie bvba



Administratieve gegevens

Naam site:	Hoeselt-Kerkstraat
Provincie:	Limburg
Gemeente:	Hoeselt
Deelgemeente:	Hoeselt
Adres:	Kerkstraat
Kadastrale gegevens:	Afdeling 1, Sectie G, percelen 432d, 434D, 510d5, 510e5, 510a4, 510y4, 510b5, 510c5, 506/02l, 506/02g
Projectcode:	2012-080
Opdrachtgever:	Kolmont Woonprojecten NV, Havermarkt 45, 3500 Hasselt
Vergunningsnummer:	2012-080
Naam aanvrager:	Maarten Smeets
Aanvraagdatum:	8 februari 2012

Inhoudstafel

Inhoudstafel	p. 1
Hoofdstuk 1 Inleiding <i>Maarten Smeets</i>	p. 3
Hoofdstuk 2 Bodemkundige aspecten <i>Ludo Fockedey</i>	p. 5
2.1 Fysiografie	p. 5
2.1.1 Lokale topografie en hydrografie	p. 5
2.1.2 Algemene geologische opbouw	p. 5
2.1.2.1 Tertiairgeologische opbouw	p. 5
2.1.2.2 Quartairgeologische opbouw	p. 8
2.2 Bodemeenheden rond de site en hun eigenschappen	p. 9
2.3 Bodemgenese en terreinwaarnemingen	p. 10
2.3.1 Bodemgenese	p. 10
2.3.2 Terreinwaarnemingen	p. 12
Hoofdstuk 3 Werkmethode <i>Maarten Smeets</i>	p. 17
Hoofdstuk 4 Beschrijving van de sporen en de vondsten <i>Maarten Smeets</i>	p. 19
Hoofdstuk 5 Besluit <i>Maarten Smeets</i>	p. 23
Bibliografie	p. 25
Bijlagen	p. 27
Bijlage 1: Sporeninventaris	p. 29
Bijlage 2: Vondsteninventaris	p. 33
Bijlage 3: Fotoinventaris	p. 35
Bijlage 4: Profielbeschrijving	p. 39
Bijlage 5: Opgravingsplan	p. 43

Hoofdstuk 1 Inleiding

Maarten Smeets

Naar aanleiding van een geplande verkaveling aan de Kerkstraat te Hoeselt werd door Onroerend Erfgoed een vooronderzoek in de vorm van proefsleuven opgelegd. Het te onderzoeken terrein heeft een oppervlakte van 0,9 ha en is gelegen binnen de dorpskern van Hoeselt, wat de kans verhoogt tot het vinden van archeologische zones binnen het te onderzoeken terrein.

Het onderzoek werd door Kolmont Woonprojecten NV toevertrouwd aan Studiebureau Archeologie bvba en vond plaats op 18 mei 2012.

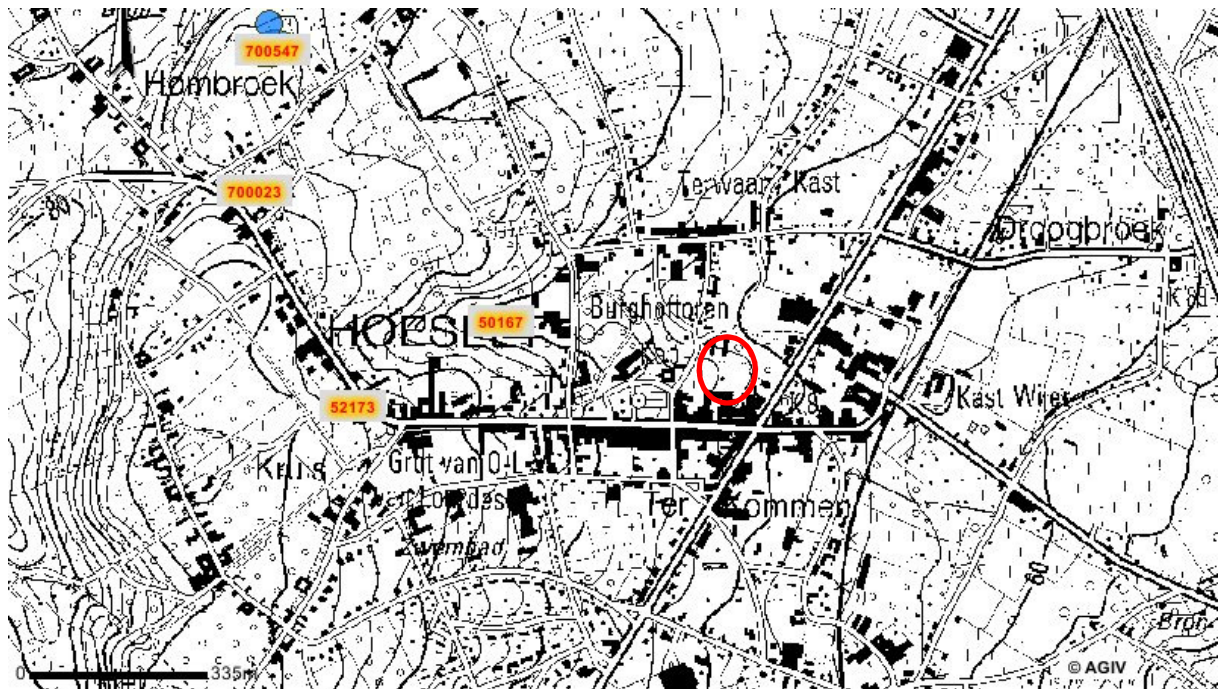


Fig. 1: Uittreksel van de CAI met aanduiding van het onderzochte terrein.

De Centrale Archeologische Inventaris (CAI) (fig. 1) bevat weinig archeologische vindplaatsen in de onmiddellijke omgeving van het projectgebied. CAI 700023 is de vindplaats van een neolithische gepolijst bijlde en CAI 700547 is de locatie van een Romeinse villa. CAI 52173 is de vindplaats van enkele Romeinse en middeleeuwse munten. De belangrijkste vindplaats is CAI 50167. De 14^{de}-eeuwse Borchhoef 'De Motte' zou mogelijk teruggaan tot de Karolingische periode, maar archeologisch onderzoek vonden hier nog niet plaats.

Hoeselt zelf wordt in een 18^{de}-eeuws archiefstuk, dat een kopie zou zijn van een akte uit 1066, als *Housle* vermeld (Hus + Lo: huis bij het bos)¹. De parochie is op dat moment in handen van de kapittelheren van Hoei, een koninklijk Frankisch gebied.

Op de Ferrariskaart (1771-1777) bevindt het projectgebied zich aan de rand van de dorpskern van Hoeselt (fig. 2). Binnen het projectgebied bevinden zich op dat moment geen gebouwen en het terrein is in gebruik als akkerland. Ook de Atlas der Buurtwegen (fig. 3) geeft een gelijkaardig beeld².

¹ Gysseling 1960: 501.

² www.kbr.be en www.limburg.be

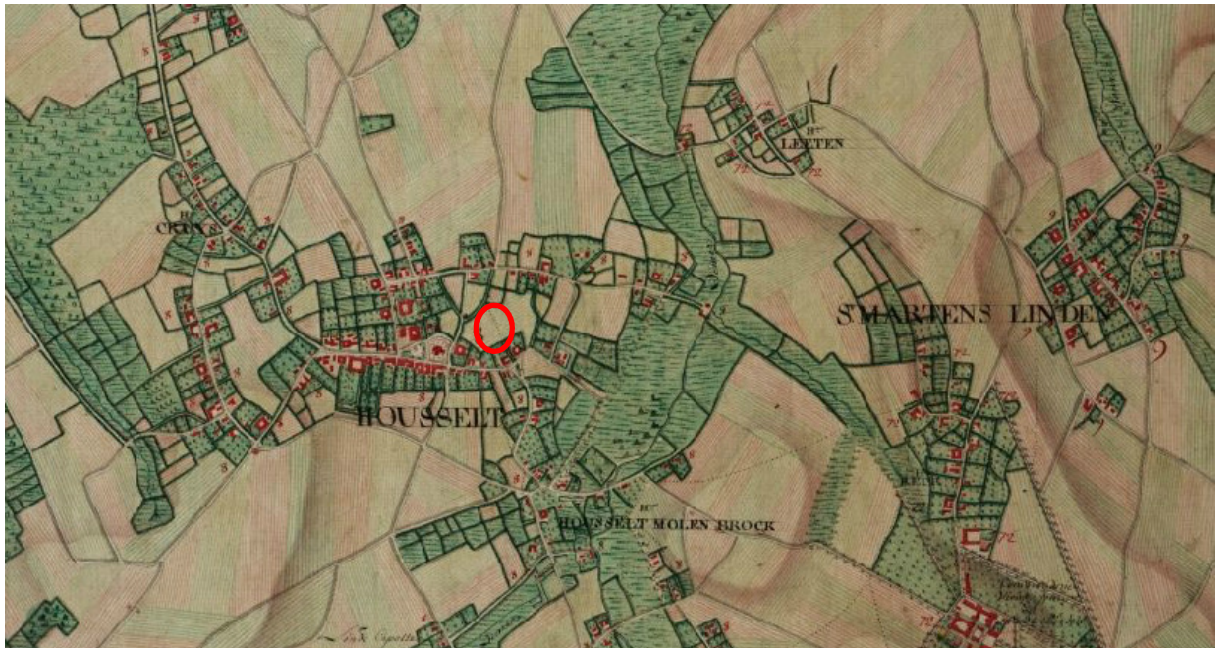


Fig. 2: Uittreksel uit de Ferrariskaart.

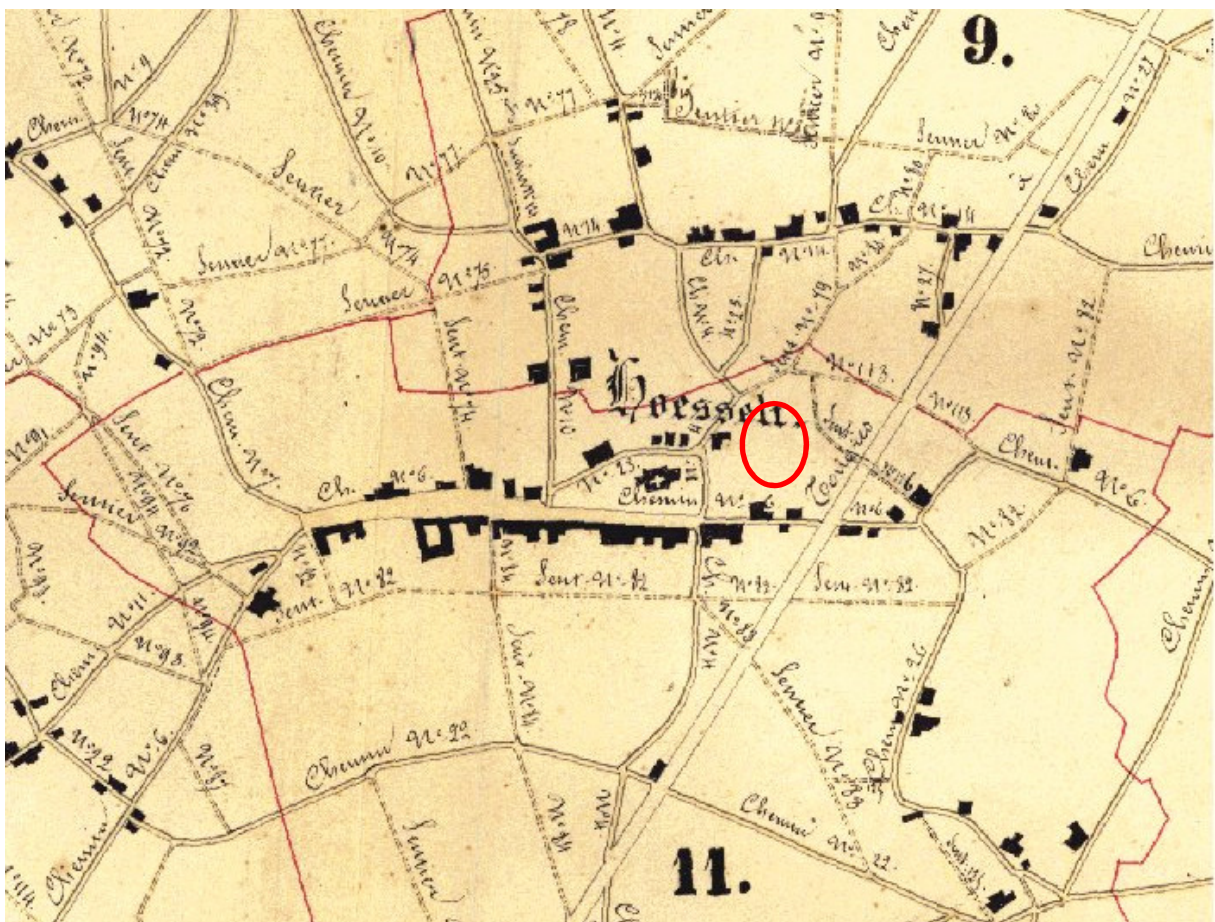


Fig. 3: Uittreksel uit de Atlas der Buurtwegen.

Hoofdstuk 2 Bodemkundige aspecten

Ludo Fockedeij

2.1 Fysiografie

2.1.1 Lokale topografie en hydrografie

Het onderzoeksgebied ligt op een hoogte tussen 72 en 74 m TAW. Het oppervlak wordt gevormd door een concave rug die afhelt naar het noorden en naar het zuiden (ca. 2%) (fig. 4). De afwatering gebeurt door een gracht die afwatert in de oostelijk gelegen Demer (fig. 5). Deze behoort tot het Demerbekken³.

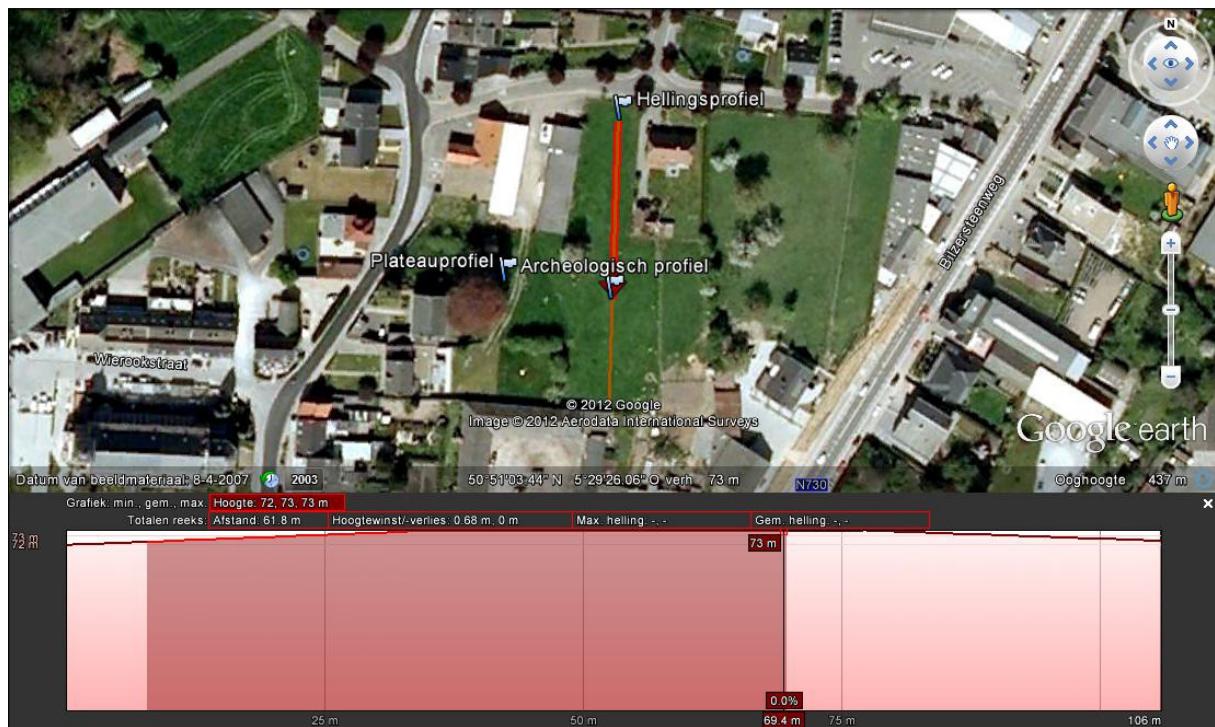


Fig. 4: Noord-zuid lengteprofiel van het oppervlak en de helling in het projectgebied.

2.1.2 Algemene geologische opbouw

2.1.2.1 Tertiair geologische opbouw

Onder het projectgebied bevinden zich sedimenten die behoren tot de Formatie van Borgloon (**Bo**) en de Formatie van Sint-Huibrechts-Hern (**Sh**) (fig. 6). Deze formaties dateren uit het Laatste Eoceen (Boven Eoceen) tot Vroeg Oligoceen (Onder Oligoceen) (fig. 7).

³ Volgens de Vlaamse Hydrografische Atlas, <http://geo-vlaanderen.agiv.be/geo-vlaanderen/vha/>.

De Formatie van Sint-Huibrechts-Hern bestaat uit twee leden: het Lid van Neerrepen en het Lid van Grimmertingen. De formatie bestaat algemeen uit zeer fijne zanden, glauconiethoudend, glimmerrijk met wisselend kleigehalte.

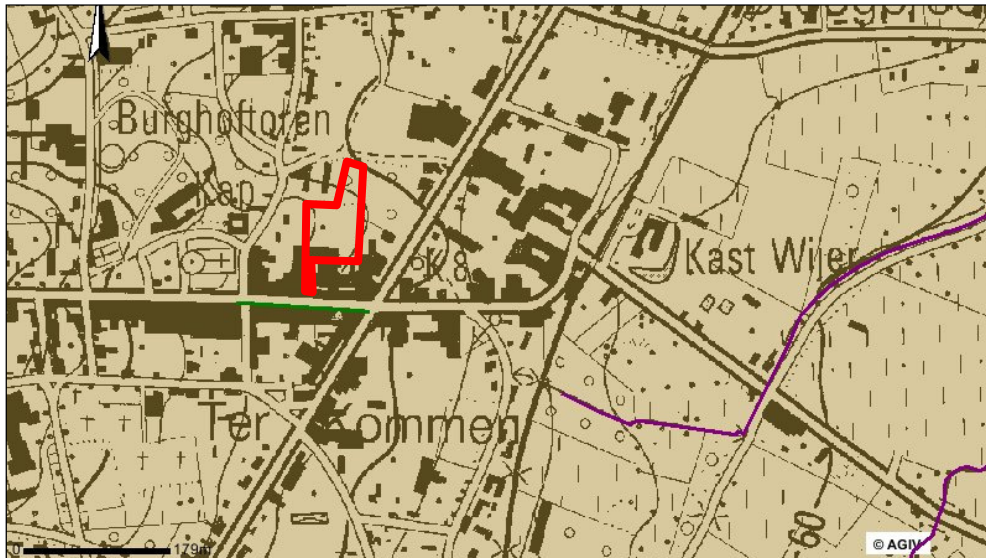


Fig. 5: Topografie en hydrografie rond het aangeduide onderzoeksgebied⁴.

Het Lid van Neerrepen bestaat uit een los fijn, groenig zand met veel glimmers, vaak gelamineerd. Het Lid van Grimmertingen bestaat uit een kleverig zeer fijn zand, glauconiethoudend en glimmerhoudend. Onderaan wordt dit lid veel kleirijker. Soms is een basisgrind bestaande uit platte zwarte silexen aanwezig. De formatie heeft een dikte van minimum enkele meters op sommige plaatsen waar zij dagzoomt en wordt tot 20-25 m dik in het noordnoordoosten. Aangezien deze formatie overal voorkomt en uitstekend te onderscheiden is van de onderliggende Formaties van Heers, Opglabbeek of Houthem is de isohypsenkaart van de basis van het mariene Tongeren van groot belang om de breukwerking in de Tertiaire lagen na te gaan.

De basis van de Formatie van Sint-Huibrechts-Hern is eveneens een belangrijk erosief oppervlak en markeert een belangrijke hoekdiscordantie met de onderliggende pakketten. Deze hoekdiscordantie wijst op tektonische activiteit voorafgaand aan de afzetting van de formatie.

De Formatie van Borgloon bestaat hoofdzakelijk uit het *Lid van Henis*. Slechts in het westen van het kaartblad worden de brakwatersedimenten van het *Lid van Alden Biesen* afgezet bovenop de Henis Klei.

Het Lid van Alden Biesen bestaat uit een wit-geelachtig matig tot grofkorrelig zand met brakwaterschelpen o.a. *Cerithium* en enkele laagjes grijswitte compacte klei (mergel) en laagjes zwarte klei.

Het Lid van Henis bestaat uit een zwarte vette klei met resten van brakwaterschelpen zoals *Cerithium*, *Cytherea* en *Cyrena*. Af en toe worden zwarte lignietrijke horizonten aangetroffen. Soms wordt de klei afgewisseld met grijsgroen fijn micahoudend zand. Af en toe komen er kalkige nodulen voor.

⁴ Fysiografisch beeld volgens de Vlaamse Hydrografische Atlas, <http://geo-vlaanderen.agiv.be/geo-vlaanderen/vha/>.

gelijkt sterk op het Zand van Boutersem. Hier wordt het aangeduid met de naam Zand van Ransberg. Dit lid komt echter meer westelijk voor. Waarschijnlijk is het zandige pakket in de Henis Klei enkel een vorm van strandwallen in de lagunaire kleiafzetting. De dikte varieert tussen enkele meters in het westen en zuidwesten van de kaart tot 10-15 m in het noorden en noordoosten van de kaart. De Formatie van Borgloon, in het bijzonder het Lid van Henis, vormt een uitstekend karteerbare laag. De overgang naar de mariene Formatie van Sint-Huibrechts-Hern is immers meestal duidelijk te herkennen⁵.

2.1.2.2 Quartair geologische opbouw (fig. 8)

Omdat de gegevens van de boorrapporten niet meteen te extrapoleren zijn naar het onderzoeksgebied, is de dikte van het quartair dek bepaald aan de hand van het verschil tussen de hoogteligging en de isohypsen van het onderliggende tertiair. Dit verschil komt neer op ongeveer twee meter.

De sedimenten die de grootste verbreiding hebben op de kaart zijn de eolische afzettingen. Deze lemen en zanden werden tijdens de laatste twee ijstijden vanuit het noordoosten aangevoerd door een sterke wind die in stand gehouden werd door een sterk hogedrukgebied boven de ijskap, die op dat moment nagenoeg gans noordelijk Europa bedekte.

De eolische leem, die grote delen van het kaartblad bedekt, is opgebouwd uit verschillende leempakketten die gescheiden worden door bodems en elk het gevolg zijn van een nieuwe influx van eolisch materiaal.

De vroegste leemafzettingen zijn meestal enkel te vinden in oplossingsgaten op de krijtplateaus of de Maasterrassen. De eerste leem die grote delen van het landschap bedekt is de Henegouwenleem van het Saale glaciaal. De leem is zandig en heeft een gebande structuur, met rode, beige en lichtgrijze kleuren. Er komen veelvuldig zwarte deeltjes in voor die duiden op een mangaanneerslag. Boven op deze lemen uit het Saale is tijdens het Eem op sommige plaatsen (Rocourt) een duidelijke bodem ontwikkeld.

De Haspengouwleem, die deze *bodem van Rocourt* bedekt, is een gelaagde loess met een iets grijzer karakter dan de onderliggende. Er komen talrijke vorstbodems voor in het leempakket, waarin bovenaan de *Bodem van Kesselt* is ontwikkeld.

Het volgende en dus jongere leempakket bestaat uit een bruine korrelige loess en bevat verschillende typische horizonten, waaronder enkele gleyige bodems, één enkele vulkanische aslaag en bovenaan een zeer specifieke bodem nl. de "*tongenhorizont*" van *Nagelbeek*. Aan de hand van deze typische horizonten kan deze loessafzetting gedateerd worden als Weichseliaan, Boven-Pleniglaciaal. De leem wordt in de Belgische stratigrafie de Brabantleem genoemd. Het bovenste leempakket bestaat uit verstoven en verspoelde lemen uit het Holoceen met een sterk ontwikkelde recente bruine bodem⁶.

⁵ Claes, Frederickx & Gullentops 2001: 25-26.

⁶ Claes, Frederickx & Gullentops 2001: 16-18.

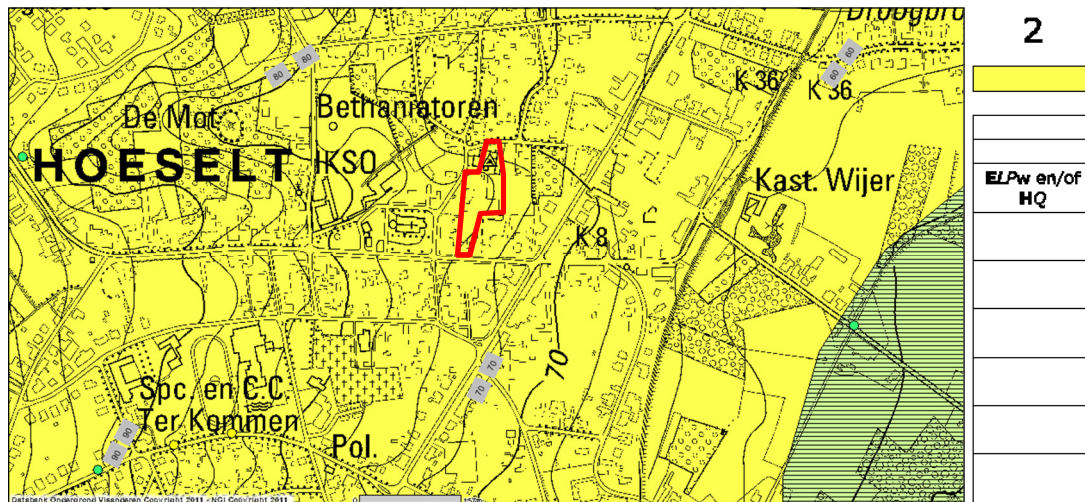


Fig. 8: Quartaairgeologische kaart⁷ met aanduiding van het projectgebied.

Legende: ELPw: Eolische afzettingen (zand tot silt) van het Weichseliaan (Laat-Pleistoceen), mogelijk Vroeg-Holoceen. Zand tot zandleem in het noordelijke en centrale gedeelte van Vlaanderen. Silt (loess) in het zuidelijke gedeelte van Vlaanderen.

HQ: Hellingsafzettingen van het Quartair.

2.2 Bodemeenheden rond de site en hun eigenschappen

Het projectgebied ligt op OT, namelijk sterk vergraven gronden (fig. 9). Het meest aannemelijk is dat het gaat om gronden die tot de bodemeenheid Aba behoren. **Aba** zijn leemgronden met textuur B horizont.

In profiel zijn het grijsbruine podzolachtige bodems met bruinachtige, aan klei en sesquioxiden aangerijkte Bt horizont. Naar gelang van de dikte van de A horizont worden twee fasen onderscheiden. Bij Aba0 is de A horizont dikker dan 40 cm. Aba1 ontstaat uit Aba0 na gehele of gedeeltelijke erosie van de A horizont, zodat de Bt horizont op minder dan 40 cm begint. De Ap horizont is een donkerbruin (10 YR 4/3), homogeen, humushoudend leem met kruimelstructuur. Bij Aba0 rust de Ap op een geelbruine (10 YR 5/4) E horizont. De B_{2t} horizont is een bruin (10-7,5 YR 5/4) zwaar leem (gemiddeld 18,5 % klei) met meestal goed ontwikkelde polyedrische structuur. De structuurvlakken en de wanden van de regenwormgangen zijn bezet met duidelijke, donkerbruine (10 YR 4/4) humus- en/of kleihuidjes (coatings). De B_{2t} is het dikst en het sterkst ontwikkeld op de relatief vlakke terreindelen. Naar onder toe neemt het kleigehalte sterk af en verdwijnt de structuur geleidelijk, terwijl de kleur van het leem in de B₃ horizont geelbruin (10 YR 5/6) wordt. In vele gevallen bevat de B₂ bruingle C bandjes⁸.

⁷ De digitale quartaairgeologische kaart heeft een schaal 1:200.000 en wordt hier niet gebruikt om gedetailleerde beschrijvingen te maken. De informatie van de rapporten van de geologische boringen worden hier wel gebruikt om bijkomende informatie in te winnen (vb. dikte van het quartair dek).

⁸ Baeyens 1968: 31- 32.

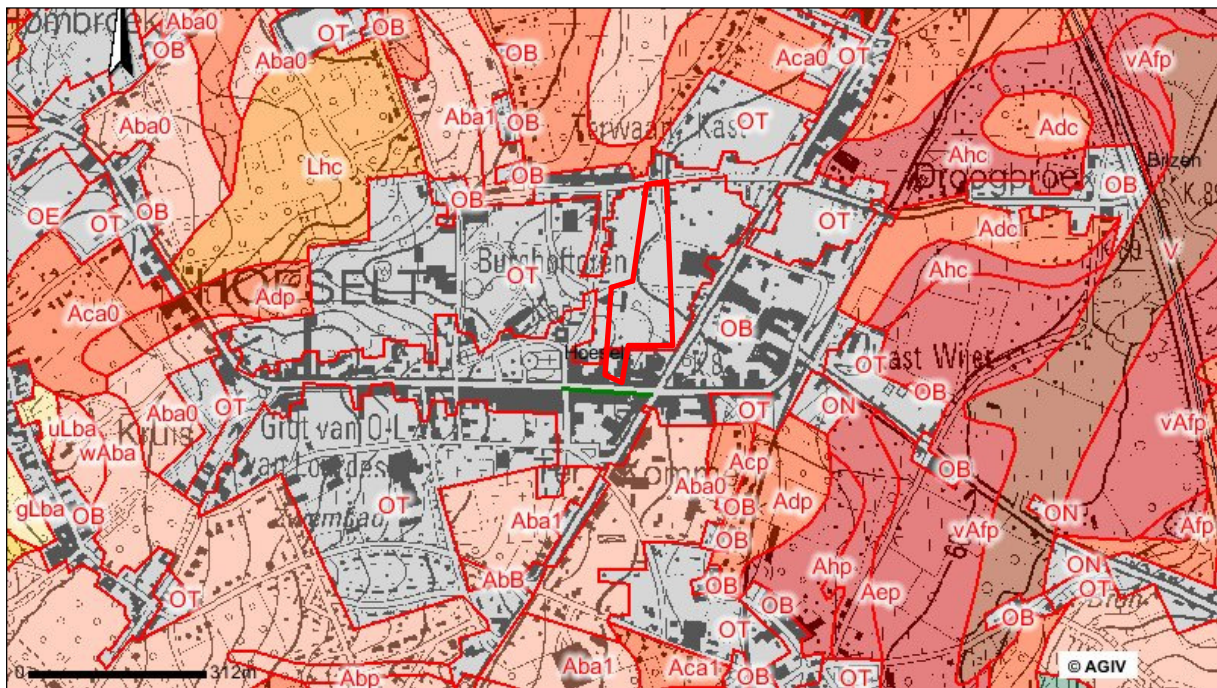


Fig. 9: Overzicht van het bodemlandschap met aanduiding van het onderzoeksgebied⁹.

2.3 Bodemgenese en terreinwaarnemingen (fig. 10)

2.3.1 Bodemgenese

De bodemontwikkeling begon in de leemgronden in de postglaciale periode (Preboreaal: ca. 10.640 - 11.560). Deze periode werd gekenmerkt door een droog en koud klimaat waarin de loess weinig of geen verandering onderging. Enkel een ophoping van organisch materiaal kan een humus horizont gevormd hebben op het niet verweerde moedermateriaal. De ijstijd werd gevolgd door een bosvegetatie. De ontwikkeling van deze bosvegetatie ging gepaard met een verzachting van de temperatuur en een verhoging van de regenval. In de leemstreek bereikte deze vegetatie haar climax met het haagbeuk- en eikenbos, gewoonlijk Atlantisch eikenbos genoemd. Er worden geen overblijfselen van een natuurlijk bosbestand meer aangetroffen in het gebied, wat geldt voor heel Haspengouw. De reden hiervoor is de massale ontbossing op relatief korte termijn van de (vruchtbare) gronden. De talrijke sporen van oude koloniaties zijn hiervoor een aanwijzing.

Het regenwater, dat koolzuur bevat ten gevolge van de biologische activiteit in de bosstrooisellaag, ontkalkt het moedermateriaal. Deze ontkalking, zelfs gedeeltelijk, veroorzaakt de verwerking van de loess. Hij wordt bruin en er vormt zich klei. Wanneer de uitloging toeneemt, worden niet alleen de oplosbare delen maar ook de colloïdale bestanddelen verplaatst.

Er vormden zich:

- een uitgeloopte horizont (eluviatie: E horizont),
- een aangerijkte horizont (illuviatie: B horizont),
- een weinig of niet verweerde horizont (C horizont).

⁹ Volgens de Belgische Bodemkaart, <http://geo-vlaanderen.agiv.be/geo-vlaanderen/bodemkaart/>.

Het **standaardprofiel** dat zo ontstaat vertoont volgende kenmerken:

- A₀** ruwe-humushorizont, voortkomend van de strooisellaag,
- A₁** humushoudende bovengrond, ca. 10 cm dik,
- E** aan klei verarmde, geelbruine, licht-(zand)leemhorizont, 40-50 cm dik,
- B_{2t}** met klei aangerijkte, bruinachtige horizont met subhoekig blokkige structuur, 40-60 cm dik
- B₃** bruinachtige horizont met minder duidelijke kenmerken dan de voorgaande,
- C₁** ontkalkt moedermateriaal,
- C₂** kalkrijk moedermateriaal,

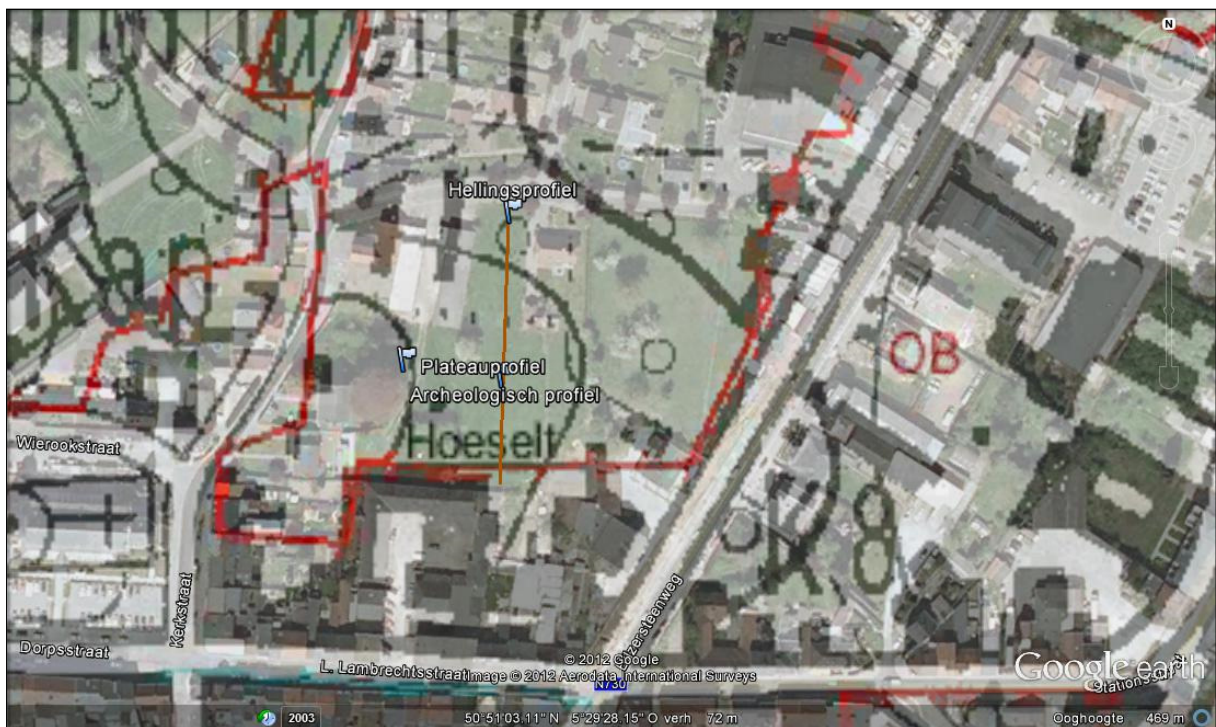


Fig. 10: De ligging van het referentieprofielen op de bodemkaart.

In de meeste gevallen (vnl. in de **cultuurgronden**) ontbreken de A₀ en de A₁ horizonten. Deze horizonten werden sedert het in cultuur nemen gemengd en aangerijkt met organisch materiaal zodat een bouwvoor (ca. 20 cm dik) ontstond.

In bodems met een **afwijkend substraat** (Tertiair) is de horizonopeenvolging meestal:

- Ap** bouwvoor,
- B_{2t}** met klei aangerijkte textuur B horizont,
- BD** overgangshorizont met sporen van solifluxie, vermengd met materiaal van het substraat,
- D** substraat.

Op plaatsen met **zwakke erosie** werd de lichtere aan klei verarmde E horizont geërodeerd en ontstond de zogenaamde terre-à-briques. De opeenvolging van de horizonten is er: **Ap, B_{21t}, B_{22t}, B₃, C₁** en **C₂**.

Op hellingen en plaatsen met **sterke erosie** werd de aangerijkte horizont geheel of gedeeltelijk geërodeerd. Daar is de horizonopeenvolging: **Ap, B₃, C₁, C₂**. In vele gevallen kan men moeilijk onderscheid maken tussen de B₃ horizont en een structuur B horizont (B), waarvan de morfogenetische kenmerken zich beperken tot een kruimelige, bruinachtige horizont van ca. 40-50

cm. Op steile hellingen komt het kalkrijke moedermateriaal (C₂) dicht bij het oppervlak. In dat geval spreekt men van *skeletgronden*.

In het stadium dat volgt op dat van de grijsbruine podzolachtige bodem, wordt de textuur B horizont aangetast en afgebroken door humuszuren. In de top van het uitgeloopte materiaal ontstaat een weinig duidelijke humus en/of ijzer B horizont (in lichtere of meer zandige leemsedimenten) of een micropodzol (in zwaardere leemsedimenten). De textuur B horizont vertoont blekere (bleekbruin tot grijsachtig) vlekken omrand met okerkleurige ringen of slierten. In de overgangsvorm zijn deze vlekken uitgesproken, in de extreme gevallen is de horizont sterk gevlekt¹⁰.

2.3.2 Terreinwaarnemingen

Omdat het terrein een duidelijk helling vertoont werden twee bodemprofielen beschreven volgens het principe van de bodemcatena¹¹ [(1) en (2) op fig. 10]. Een derde staat in relatie tot een graf en geeft enkel de oppervlaktehorizont weer.



Fig. 11: Topografische ligging van de twee bodemprofielen (zgn. bodemcatena).

Het eerste bodemprofiel (fig. 11) [(1) op fig. 11] bevindt zich op de top van de helling, gevormd door een klein plateau (fig. 12). Ze wordt gekenmerkt door een sterke Ap horizont (1) van ongeveer 60 cm dik die rust op een met klei aangerijkte horizont (2). De scherpe ondergrens van de Ap horizont is volledig vervaagd omdat het perceel is gebruikt als boomgaard/weide waardoor de biologische activiteit is toegenomen en dus ook de verstoringsgraad.

¹⁰ Baeyens 1968: 19-21.

¹¹ Een bodemcatena is een opeenvolging van verschillende bodemprofielen die op een helling voorkomen.

Ook het profiel dat geassocieerd is met de grafcontext vertoont dezelfde oppervlaktehorizont [fig. 13 (1)] met een houtskoolrijke laag als overgangshorizont (2). Hier is de humusrijke horizont dikker en is de donkere horizont mogelijk geassocieerd met het graf. Een oud loopvlak lijkt minder waarschijnlijk, omdat het graf dan heel ondiep zou zijn. De bioturbaties zijn van dergelijke omvang dat de grafvulling volledig is opgegaan in de A horizont en slechts door de inhoud van het graf (skelet) te onderscheiden zou zijn als het zich iets minder diep zou bevinden.

Het tweede bodemprofiel (fig. 14) [(2) op fig. 11] bevindt zich op de helling. De Ap horizont (1) is er tot 100 cm dik en eronder zijn sporen van de oorspronkelijke E horizont (2) waar te nemen. Vooral de kleurbeeping speelt hierin een determinerende rol (tabel 1).

Horizont	Kleur	
	theorie	veldmeting
E	10YR 5/4	10YR 5/3 tot 6/3

Tabel 1: vergelijking tussen kleurbeeping op het veld met theoretische kleur van de E horizont.



Fig. 12: "Plateauprofiel" met dikke humeuze horizont.



Fig. 13: Oppervlaktehorizont met grafcontext.



Fig. 14: "Hellingsprofiel" met dikke Ap.

Het plateau-profiel vertoont geen typische horizon-opvolging. De A, E en een deel van de B horizon ontbreken en het is niet duidelijk of deze zijn opgenomen in de Ap. Dit in tegenstelling tot het hellingprofiel waar deze wel bewaard zijn. Voor de archeologische sporen, in het bijzonder de

grafsporen, betekent dit dat er ofwel al erosie heeft plaatsgevonden voor de begravingen, ofwel dat de erosie heeft plaatsgevonden na de begravingen.

In het eerste geval kan het betekenen dat het loopvlak al lager lag en er zelfs materiaal kan geërodeerd en/of bijgekomen zijn nadat het grafveld zijn functie verloor en weer in landbouwgrond werd omgezet. In het tweede geval was de oorspronkelijke bodem er nog en lagen de graven dieper.

Het hellingprofiel vertoont geen duidelijke sporen van erge erosie maar eerder van colluvatie. Dit zou kunnen betekenen dat er na de ontbossing vrij vlug sedimentatie heeft plaatsgevonden.

De mogelijke erosie van de hoger gelegen bodem kan ook implicaties hebben op het al of niet in situ terugvinden van sporen uit een welbepaalde periode (vb. afwezigheid van neolithicum 'in situ' door erosie achteraf).

Hoofdstuk 3 Werkmethode

Maarten Smeets

De sleuven werden machinaal aangelegd met een graafmachine op rupsbanden voorzien van een platte graafbak (fig. 15). In totaal werden er 9 sleuven gegraven die telkens 1 graafbak (ongeveer 2 m) breed waren. Op één plaats werd een bijkomend kijkvenster aangelegd.



Fig. 15: Aanleg van de sleuven.

Alle aanwezige sporen werden met de schop proper gemaakt, gefotografeerd en topografisch ingemeten. Eventuele vondsten werden per spoor ingezameld. Alle losse vondsten zijn topografisch ingemeten en staan op het plan aangegeven als LV met een oplopend volgnummer. De sleuven en het terrein werden onderzocht met de metaaldetector, maar dit leverde geen vondsten op.

Hoofdstuk 4 Beschrijving van de sporen en de vondsten

Maarten Smeets

In totaal werden er 74 sporen geregistreerd. Een eerste groep sporen waren de kleine paalkuilen met een vrij losse vulling (sporen 2, 3, 28, 29, 30, 57 en 58). Gelet op de beperkte omvang en de losse vulling, gaat het vermoedelijk om oude weidepalen (fig. 16).

Voorts waren sporen 31 en 32 recente verstoringen. Grote verstoringen werden eveneens aangetroffen in het zuidelijke deel van het projectgebied, waar vlak voor de start van het archeologisch vooronderzoek een aantal gebouwen waren afgebroken.

Een groep sporen die uiteindelijk als negatief beschouwd kunnen worden, zijn sporen 45, 46, 47, 48, 49, 50, 51, 52 en 53. Hier was machinaal plaatselijk net niet diep genoeg uitgegraven, waardoor zich sporen leken af te tekenen, maar controle bleek het om iets sterker gebioturbeerde zones te gaan die slechts enkele centimeters dieper waren.



Fig. 16: Spoor 28 in sleuf 2.

De overgrote meerderheid van de sporen bestond uit grotere (fig. 17) en kleinere kuilen (fig. 18) met een bruine vulling. Zeker de kleinere kuilen kunnen vermoedelijk als grote paalkuilen geïnterpreteerd worden. In enkele van deze kuilen werd ook schervenmateriaal aangetroffen dat in de Romeinse periode gedateerd kan worden. Regelmatig werden ook fragmenten van Romeinse dakpannen aangetroffen.



Fig. 17: Sporen 61 en 62 in sleuf 5.



Fig. 18: Spoor 66 in sleuf 6.

De meest opmerkelijke vondst was in sleuven 3 en 5. In beide sleuven werden bij de aanleg van het vlak minstens zes graven aangetroffen (sporen 40, 41-42, 43, 44, 55 en 56) (fig. 19). De oriëntatie van de skeletten was oost-west. Minstens één van de graven is van een kind geweest (fig. 20). De beenderen waren relatief goed bewaard, doordat de bodem niet ontkalkt was en het bot dus ook niet aangevreten was in de loop der jaren.

Er werden slechts een beperkt aantal vondsten gedaan die met deze graven in verband stonden. In spoor 40 ging het om drie wandfragmenten van een Dressel 20 olijfolieamfoor uit Baetica (Zuid-Spanje, datering: 1^{ste} eeuw-250), een wandfragment van een beker met blauwgrijze engobe (datering: 3^{de} eeuw) en enkele niet determineerbare scherven. De scherven in handgevormd aardewerk uit spoor 41 waren te sterk verweerd om nog een determinatie toe te laten.

Toch hoeft dit niet te wijzen op een Romeinse datering. De oriëntatie van de graven is duidelijk christelijk en een datering in de Merovingische periode lijkt plausibel. Een gelijkaardig grafveldje werd onder andere ook aangetroffen op de site Maasmechelen-Mottekamp en ook hier was het merendeel van de vondsten Romeins, hoewel de datering van de graven 7^{de}-eeuws is.



Fig. 19: Sporen 41 en 42 in sleuf 3 met schedelresten.



Fig. 20: Spoor 56 in sleuf 5.

Hoofdstuk 5 Besluit

Maarten Smeets

Conform art. 4 § 2 van het *Decreet houdende Bescherming van het Archeologisch Patrimonium* van 30 juni 1993 (B.S. 15.09.1993), gewijzigd bij decreet van 18 mei 1999 (B.S. 08.06.1999), 28 februari 2003 (B.S. 24.03.2003), 10 maart 2006 (B.S. 7.6.2006), 27 maart 2009 (B.S. 15.5.2009) en 18 november 2011 (B.S. 13.12.2011) zijn de eigenaar en de gebruiker ertoe gehouden de archeologische monumenten die zich op hun gronden bevinden te bewaren en te beschermen en ze voor beschadiging en vernieling te behoeden.

Daarom werd een archeologisch vooronderzoek gevraagd om de archeologische potentie van het terrein in te schatten.

Tijdens dit archeologisch vooronderzoek kon worden vastgesteld dat, op de meest noordelijke zone (noordelijke deel sleuf 3 en sleuf 4) en de meest zuidelijke zone (verstoord door bebouwing) na, over de volledige oppervlakte een goed bewaarde archeologische site aanwezig is. De datering van de sporen is grotendeels (laat-)Romeins, al kunnen de aangetroffen menselijke resten vermoedelijk eerder in de Merovingische periode dateren.

Gelet op deze vondsten, gelet ook op de beperkte kennis die er momenteel is over de overgang tussen de Romeinse periode en de Merovingische periode en gelet op de aanwezigheid van zes menselijke begravingen, dringt verder archeologisch onderzoek van de volledige zone (oppervlakte ca. 6.500 m²) zich op. Hierbij dienen ook de nodige budgetten voorzien te worden voor enerzijds de conservatie van de vondsten en anderzijds het natuurwetenschappelijk onderzoek. Belangrijke vragen hierbij zijn momenteel de datering en de analyse van de menselijke skeletten. Daarnaast dringt verder bodemkundig onderzoek, aangevuld met pollenanalyses, zich op om de ruimtelijke context beter te situeren.

Bibliografie

BAEYENS L. 1965: *Kaartblad Bilzen 93 W., 1:20.000*, I.W.O.N.L.

BAEYENS L. 1968: *Bodemkaart van België. Verklarende tekst bij het kaartblad Bilzen 93 W*, I.W.O.N.L.

CLAES S., E. FREDERICKX & F. GULLENTOPS 2001: *Kaartblad 34 Tongeren. Toelichtingen bij de geologische kaart van België – Vlaams Gewest*. Belgische Geologische Dienst en Afdeling Natuurlijke Rijkdommen en Energie, Brussel.

GYSELING M. 1960: *Toponymisch woordenboek van België, Nederland, Luxemburg, Noord-Frankrijk en West-Duitsland (vóór 1226)*, Brussel.

VAN RANST E. & SYS C. 2000: *Eenduidige legende voor de digitale bodemkaart van Vlaanderen (schaal 1:20.000)*.

Bijlagen

Bijlage 1 Sporeninventaris

Spoor	WP	Aard	Vorm/ verband	Aflijning/ bewaring	Kleur	Textuur/ materiaal	Bijmenging
1	1	Paalkuil met kern	Cirkel	ReS	DGr-BI m. DBr-Gr sp.	ReHaVa L	Bio
1L1	1	Vulling		ReS	DGr-BI m. DBr-Gr sp.	ReHaVa L	Bio
1L2	1	Kern	Cirkel	ReD	DGr-BI m. DGr-BI vl.	ReZaVa L	Bio, BC
2	1	Paalkuil met kern	Cirkel	ReS	DGr-BI m. DBr en Br-Gl vl.	ReHaVa L	Bio, BC, HK
2L1	1	Vulling		ReS	DGr-BI m. DBr en Br-Gl vl.	ReHaVa L	Bio, BC, HK
2L2	1	Hout	Verticaal	ZeS slecht	DGr-Rd		
3	1	Paalkuil met kern	Vierkantig	ZeS	DGr-BI m. DBr-Gl vl.	ReZaVa L	Bio, BC, HK
3L1	1	Vulling		ZeS	DGr-BI m. DBr-Gl vl.	ReZaVa L	Bio, BC, HK
3L2	1	Kern	Vierkantig	ZeS	DGr-BI m.	ReZaVa L	HK
4	1	Kuil	Onregelmatig	ReS	DGr-Br m. Br-Gl vl.	ReHaVa L	Bio, HK, BC
5	1	Paalkuil met kern	Rechthoekig	ReS	DGr-Br m. Br-Gl vl.	ReHaVa L	Bio, HK, BC
5L1	1	Vulling		ReS	DGr-Br m. Br-Gl vl.	ReHaVa L	Bio, HK, BC
5L2	1	Kern	Driehoekig	Var	DGr-Br m. Zw en Br-Gl vl.	ReHaVa L	Bio, HK, BC
6	1	Kuil	Onregelmatig	ReS	DGr-BI m. DBr-Gr en Br-Gl vl.	ReHaVa L	Bio, HK, BC
7	1	Kuil	Rechthoekig?	ReS	DGr-BI m. DGr-Br vl.	ReHaVa L	Bio, Fe, HK
8	1	Paalkuil	Ovaal	ZeS	DGr-BI m. DGr vl.	ReHaVa L	Bio, Fe, HK
9	1	Gracht	Langwerpig	ReS	DGr-Br m. Br-Gl vl.	ReHaVa L	Bio, HK, BC
10	1	Paalkuil	Ovaal	ZeD	DGr-Br m. Br-Gl vl.	ReHaVa L	Bio, HK, BC
11	1	Paalkuil	Niet zichtbaar	ZeD	DGr-Br m. Br-Gl vl.	ReHaVa L	Bio, HK, BC
12	1	Paalkuil	Ovaal	ZeD	DGr m. DGr-Br en Br-Gl vl.	ReHaVa L	Bio, HK, BC
13	1	Paalkuil	Ovaal	ZeD	DGr m. Br-Gl vl.	ReHaVa L	Bio, HK, BC
14	1	Paalkuil	Ei-vormig	ZeD	DGr m. DGr-Br en Br-Gl vl.	ReHaVa L	Bio, HK, BC
15	1	Paalkuil	Cirkel	ZeD	DGr m. DGr-Br en Br-Gl vl.	ReHaVa L	Bio, HK, BC
16	1	Paalkuil	Cirkel	ZeD	DGr m. DGr-Br en Br-Gl vl.	ReHaVa L	Bio, HK, BC
17	1	Kuil	Ovaal	ZeD	DGr m. DGr-Br en Br-Gl vl.	ReHaVa L	Bio, Keitjes, HK, BC
18	1	Paalkuil	Ovaal	ReD	DGr-Br m. Br-Gl vl.	ReHaVa L	Bio, HK, VL, BC
19	2	Paalkuil	Cirkel	ZeD	Gr-Br m. DGr-Br en Br-Gl vl.	ReHaVa L	Bio, BC, HK
20	2	Paalkuil	Cirkel	ZeD	Gr-Br m. DGr-Br en Br-Gl vl.	ReHaVa L	Bio, HK, BC
21	2	Kuil	Trapezium	ReD	DGr-Br m. DGr en Br vl.	ReHaVa L	Bio, VL, HK, BC
22	2	Kuil	Niet zichtbaar	ZeD	DGr m. DGr-Br en Br-Gl	ReHaVa L	Bio, BC, HK
23	2	Kuil	Ovaal	ReD	DGr m. DGr-Br en Br-Gl vl.	ReHaVa L	Bio, HK, BC, VL
24	2	Paalkuil	Rechthoekig	ReD	DGr-Br m. Br-Gl vl.	ReHaVa L	Bio, HK

Het archeologisch vooronderzoek aan de Kerkstraat te Hoeselt

25	2	Kuil	Cirkel	ReD	DGr-Br m. DGI-Br en Br-Gl vl.	ReHaVa L	Bio, HK, BC
26	2	Kuil	Ovaal	ReD	DGr m. DBr-Gr en Br-Gl vl.	ReHaVa L	Bio, HK, VL
27	2	Kuil	Ovaal	ReD	DGr-Br m. DGr en Br-Gl vl.	ReHaVa L	Bio, BC, HK
28	2	Paalkuil	Cirkel	ZeS	DGr-Zw	ReHaLo L	
29	2	Paalkuil	Rechthoekig	ZeS	DGr-Zw m. Br-Gl vl.	ReHaLo L	HK, BC
30	2	Paalkuil	Rechthoekig	ZeS	DGr-Zw m. Br-Gl vl.	ReHaLo L	Bio, BC, HK
31	2	Kuil	Rechthoekig	ReS	DGr m. DBr-Gr vl.	ReHaLo L	Bio, VL, BC, HK
32	3	Kuil	Rechthoekig	ReS	Br-Gr m. DOr-Br en DGr vl.	ReHaVa L	Bio, Fe
33	3	Paalkuil	Ovaal	ReD	DGr m. DGr-Br en Br-Gl vl.	ReZaVa L	Bio, HK, BC
34	3	Paalkuil	Ovaal	ReD	DGr-Br m. DBr en Br-Gl vl.	ReHaVa L	Bio, HK
35	3	Paalkuil	Cirkel	ReD	DGr m. Br-Gl vl.	ReHaVa L	Bio, BC, HK
36	3	Paalkuil	Ovaal	ZeD	DGr m. Br-Gl vl.	ReHaVa L	Bio, HK
37	3	Kuil	Langwerpig	ReD	DGr-Br m. LWt-Gr en Br-Gr	ReHaVa L	Bio, HK
38	3	Greppel	Langwerpig	ReD	DGr-Br m. LWt-Gr en Br-Gl vl.	ReHaVa L	Bio, HK
39	3	Kuil	Cirkel	ZeD	Br-Gr m. LWt-Gr en Br-Gl vl.	ReHaVa L	Bio, BC, HK
40	3	Skelet	Foetushouding W-O	50 - 75% Vrij goed			Adolescent? Vrouwelijk?
41	3	Grafkuil	Rechthoekig	ReD	DGr-Br m. DBr en Br-Gl vl.	ReHaVa L	Bio, HK
42	3	Skelet	Rugligging W-O	- 25% Vrij goed			
43	3	Kuil	Niet zichtbaar	ZeD	DGr-Br m. DBr en Br-Gl vl.	ReHaVa L	Bio, HK
44	3	Skelet	W-O	- 25% Vrij goed			
45	3	Kuil	Ovaal	ReD	DGr m. DGr-Br en Br-Gl vl.	ReHaVa L	Bio, VL, HK
46	3	Kuil	Cirkel	ReD	DGr-Gl m. DGr-Br vl.	ReHaVa L	Bio, HK, BC
47	8	Paalkuil	Cirkel	ReS	DGr	ReHaVa L	Bio, HK
48	3	Paalkuil	Cirkel	ReD	DGr m. DBr-Gr en DGr-Gl vl.	ReHaVa L	Bio, HK, BC, Kalkzandsteen
49	3	Paalkuil	Cirkel	ReD	DGr m. DGr-Gl vl.	ReHaVa L	Bio, HK, VL
50	3	Kuil	Cirkel	ReD	DGr m. DBr-Gr en Br-Gl vl.	ReHaVa L	Bio, HK, BC
51	3	Kuil	Ovaal	ReD	DGr m. DGr-Gl vl.	ReHaVa L	Bio, BC, HK
52	3	Paalkuil	Ovaal	ReD	DGr m. Br-Gl vl.	ReHaVa L	Bio, BC, HK
53	4	Kuil	Ovaal	ReD	DGr-Br m. DGr en Br-Gl vl.	ReHaVa L	Bio, BC, HK
54	5	Greppel	Langwerpig	ReD	DGr m. DBr-Gr en Br-Gl vl.	ReHaVa L	Bio, BC, HK
55	5	Skelet	Rugligging W-O	- 25% Zeer slecht			Kind
56	5	Skelet	W-O	25 - 50 % Vrij slecht			
57	5	Paalkuil	Vierkantig	ZeS	DGr-Zw	ReHaLo L	Bio, BC, HK
58	5	Paalkuil	Cirkel	ZeS	DGr-Zw	ReHaLo L	Bio, BC

59	5	Kuil	Vierkantig	ReD	DGr-Gr m. Br-Gl vl.	ReHaVa L	Bio, Sintels, HK, BC
60	5	Paalkuil	Ovaal	ReD	DGr-Br m. DBr vl.	ReHaVa L	Bio, BC
61	5	Kuil	Onregelmatig	ReS	DGr-Gr m. DBr-Gl vl.	ReHaVa L	Bio, KW, NS, Sintels, BC, HK
62	5	Paalkuil	Cirkel	ReD	DGr-Br m. Br-Gl vl.	ReHaVa L	Bio, HK, Sintels
63	5	Paalkuil	Ovaal	Var	DGr m. DGr en LGr-Br vl.	ZeHaVa L	Bio, HK, BC
64	6	Paalkuil	Cirkel	ReD	DGr-Br m. Br-Gl vl.	ReHaVa L	Bio, HK, BC
65	6	Paalkuil	Cirkel	ReD	DGr-Br m. Br-Gl vl.	ReHaVa L	Bio, HK, BC
66	6	Paalkuil	Ovaal	ReD	DGr-Gr m. Br-Gl vl.	ReHaVa L	Bio, HK, BC
67	7	Kuil	Cirkel	ReD	DGr-Br m. DBr-Gl vl.	ReHaVa L	Bio, HK, BC
68	7	Kuil	Cirkel	ReD	DGr-Br m. DBr en Br-Gl vl.	ReHaVa L	Bio, BC, HK, VL, NS
69	7	Paalkuil	Cirkel	ReS	DGr-Zw m. DBr-Gl vl.	ReHaVa L	Bio, HK, NS
70	7	Paalkuil	Cirkel	ReD	LGr-Br m. Br-Gl	ReHaVa L	Bio, HK
71	7	Greppel	Langwerpig	ReS	LWt-Gr m. DBr-Gl en DGr vl.	ReHaVa L	Bio, Fe, HK
72	7	Paalkuil	Cirkel	ReD	DGr m. DBr-Gl vl.	ReHaVa L	Bio, HK
73	7	Paalkuil	Ovaal	ReD	DGr-Bl m. DGr-Br vl.	ReHaVa L	Bio, HK
74	7	Paalkuil	Cirkel	ZeD	DGr-Rd m. DGr-Br en Zw vl.	ReHaVa L	Bio, HK, BC

Afkortingen:

Kleur:

L- Licht
D- Donker
Br Bruin
Gl Geel
Go Groen
Gr Grijs
Or Oranje
Rd Rood
Wt Wit
Zw Zwart

Aflijning:

Re Redelijk
Ze Zeer
S Scherp
D Diffuus
Var Variabel

Textuur:

Re Redelijk
Ze Zeer
Za Zacht
Ha Hard
Va Vast
Lo Los
Z Zand
L Leem
K Klei

Bijmenging:

Bio Bioturbatie
BS Baksteen
Glau Glauconiet
BC Bouwceramiek
HK Houtskool
Fe IJzerconcreties
FeZ IJzerzandsteen
VL Verbrande leem

m met
vl vlekken
sp spikkels

Bijlage 2 Vondsteninventaris

Inventarisnummer	Spoornummer	WP	Aard
2012-080-LV1-Ce	LV1	2	Ceramiek
2012-080-S9-Bo	9	1	Bouwmateriaal
2012-080-S9-Ce	9	1	Ceramiek
2012-080-S9-Na	9	1	Natuursteen
2012-080-S9-Si	9	1	Silex
2012-080-S17-Ce	17	1	Ceramiek
2012-080-S19-Ce	19	2	Ceramiek
2012-080-S20-Ce	20	2	Ceramiek
2012-080-S21-FI	21	2	Floraresten
2012-080-S26-Ce	26	2	Ceramiek
2012-080-S31-Fa	31	2	Faunaresten
2012-080-S40-Ce	40	3	Ceramiek
2012-080-S40-Me	40	3	Metaal
2012-080-S40-Si	40	3	Silex
2012-080-S41-Ce	41	3	Ceramiek
2012-080-S43-Fa	43	3	Faunaresten
2012-080-S44-Me	44	3	Metaal
2012-080-S61-Fa	61	5	Faunaresten
2012-080-S68-Fa	68	7	Faunaresten
2012-080-S3L2-Pi	3	1	Pijpaarde

Bijlage 3 Fotoinventaris

Inv. Nr.	SL	Spoor	Aard
2012-080-001	1		Profiel 1
2011-245-002	1		Profiel 1
2011-245-003	1	1	Vlak
2011-245-004	1	1	Vlak
2011-245-005	1	1	Vlak
2011-245-006	1	2	Vlak
2011-245-007	1	2	Vlak
2011-245-008	1	3	Vlak
2011-245-009	1	3	Vlak
2011-245-010	1	4	Vlak
2011-245-011	1	4	Vlak
2011-245-012	1	5	Vlak
2011-245-013	1	5	Vlak
2011-245-014	1	5	Vlak
2011-245-015	1	6	Vlak
2011-245-016	1	6	Vlak
2011-245-017	1	6	Vlak
2011-245-018	1	7	Vlak
2011-245-019	1	7	Vlak
2011-245-020	1	8	Vlak
2011-245-021	1	9	Vlak
2011-245-022	1	9	Vlak
2011-245-023	1	10	Vlak
2011-245-024	1	10	Vlak
2011-245-025	1	11	Vlak
2011-245-026	1	12	Vlak
2011-245-027	1	12	Vlak
2011-245-028	1	13	Vlak
2011-245-029	1	13	Vlak
2011-245-030	1	14	Vlak
2011-245-031	1	14	Vlak
2011-245-032	1	15	Vlak
2011-245-033	1	15	Vlak
2011-245-034	1	16	Vlak
2011-245-035	1	16	Vlak
2011-245-036	1	16	Vlak
2011-245-037	1	17,18	Vlak
2011-245-038	1	17,18	Vlak

2011-245-039	1	17,18	Overzicht
2011-245-040	2	17,18	Overzicht
2011-245-041	2	19	Vlak
2011-245-042	2	19	Vlak
2011-245-043	2	19	Vlak
2011-245-044	2	19	Vlak
2011-245-045	2	20	Vlak
2011-245-046	2	20	Vlak
2011-245-047	2	20	Vlak
2011-245-048	2	20	Vlak
2011-245-049	2	21	Vlak
2011-245-050	2	21	Vlak
2011-245-051	2	22	Vlak
2011-245-052	2	22	Vlak
2011-245-053	2	22	Vlak
2011-245-054	2	22	Vlak
2011-245-055	2	22	Vlak
2011-245-056	2	22	Vlak
2011-245-057	2	22	Vlak
2011-245-058	2	22	Vlak
2011-245-059	2	22	Vlak
2011-245-060	2	22	Overzicht
2011-245-061	2	23	Vlak
2011-245-062	2	23	Vlak
2011-245-063	2	24	Vlak
2011-245-064	2	24	Vlak
2011-245-065	2	25	Vlak
2011-245-066	2	25	Vlak
2011-245-067	2	25	Vlak
2011-245-068	2	25	Vlak
2011-245-069	2	26	Vlak
2011-245-070	2	26	Vlak
2011-245-071	2	27	Vlak
2011-245-072	2	27	Vlak
2011-245-073	2	27	Vlak
2011-245-074	2	27	Vlak
2011-245-075	2	27	Vlak
2011-245-076	2	28	Vlak
2011-245-077	2	28	Vlak

2011-245-078	2	29	Vlak
2011-245-079	2	29	Vlak
2011-245-080	2	30	Vlak
2011-245-081	2	30	Vlak
2011-245-082	2	31	Vlak
2011-245-083	2	31	Vlak
2011-245-084	2		Overzicht
2011-245-085	2		Profiel 2
2011-245-086	2		Profiel 2
2011-245-087	2		Overzicht
2011-245-088	2		Overzicht
2011-245-089	2		Overzicht
2011-245-090	3		Overzicht
2011-245-091	3	32	Vlak
2011-245-092	3	32	Vlak
2011-245-093	3	32	Vlak
2011-245-094	3	33	Vlak
2011-245-095	3	33	Vlak
2011-245-096	3	34	Vlak
2011-245-097	3	34	Vlak
2011-245-098	3	35	Vlak
2011-245-099	3	35	Vlak
2011-245-100	3	36	Vlak
2011-245-101	3	36	Vlak
2011-245-102	3	37	Vlak
2011-245-103	3	37	Vlak
2011-245-104	3		Overzicht
2011-245-105	3	38	Vlak
2011-245-106	3	38	Vlak
2011-245-107	3	39	Vlak
2011-245-108	3	39	Vlak
2011-245-109	3	39	Vlak
2011-245-110	3	40	Vlak
2011-245-111	3	40	Vlak
2011-245-112	3	40	Vlak
2011-245-113	3	41,42	Vlak
2011-245-114	3	41,42	Vlak
2011-245-115	3	41,42	Vlak
2011-245-116	3	41,42	Vlak
2011-245-117	3	43	Vlak
2011-245-118	3	43	Vlak

2011-245-119	3	43	Vlak
2011-245-120	3	43	Vlak
2011-245-121	3	44	Vlak
2011-245-122	3	44	Vlak
2011-245-123	3		Profiel 3
2011-245-124	3		Profiel 3
2011-245-125	3		Profiel 3
2011-245-126	3	45	Vlak
2011-245-127	3	45	Vlak
2011-245-128	3	46	Vlak
2011-245-129	3	46	Vlak
2011-245-130	3	47	Vlak
2011-245-131	3	47	Vlak
2011-245-132	3	48	Vlak
2011-245-133	3	48	Vlak
2011-245-134	3	49	Vlak
2011-245-135	3	50	Vlak
2011-245-136	3	50	Vlak
2011-245-137	3	51	Vlak
2011-245-138	3	52	Vlak
2011-245-139	3	52	Vlak
2011-245-140	3		Overzicht
2011-245-141	3		Overzicht
2011-245-142	4		Overzicht
2011-245-143	4		Overzicht
2011-245-144	4	53	Vlak
2011-245-145	4	53	Vlak
2011-245-146	4		Overzicht
2011-245-147	4		Overzicht
2011-245-148	5	54	Vlak
2011-245-149	5	55	Vlak
2011-245-150	5	54,55	Vlak
2011-245-151	5	54,55	Vlak
2011-245-152	5	56	Vlak
2011-245-153	5	56	Vlak
2011-245-154	5	56	Vlak
2011-245-155	5	57	Vlak
2011-245-156	5	57	Vlak
2011-245-157	5	58	Vlak
2011-245-158	5	58	Vlak
2011-245-159	5	59	Vlak

2011-245-160	5	59	Vlak
2011-245-161	5	60	Vlak
2011-245-162	5	60	Vlak
2011-245-163	5	61	Vlak
2011-245-164	5	62	Vlak
2011-245-165	5	62	Vlak
2011-245-166	5	61,62	Vlak
2011-245-167	5	63	Vlak
2011-245-168	5	63	Vlak
2011-245-169	5		Overzicht
2011-245-170	5		Overzicht
2011-245-171	5		Overzicht
2011-245-172	6	64	Vlak
2011-245-173	6	64	Vlak
2011-245-174	6	65	Vlak
2011-245-175	6	65	Vlak
2011-245-176	6	66	Vlak
2011-245-177	6	66	Vlak
2011-245-178	6		Overzicht
2011-245-179	6		Overzicht
2011-245-180	7	67	Vlak
2011-245-181	7	68	Vlak
2011-245-182	7	68	Vlak

2011-245-183	7	67	Vlak
2011-245-184	7	69	Vlak
2011-245-185	7	69	Vlak
2011-245-186	7	70	Vlak
2011-245-187	7	70	Vlak
2011-245-188	7	71	Vlak
2011-245-189	7	71	Vlak
2011-245-190	7	72	Vlak
2011-245-191	7	72	Vlak
2011-245-192	7	73	Vlak
2011-245-193	7	73	Vlak
2011-245-194	7	74	Vlak
2011-245-195	7	74	Vlak
2011-245-196	7		Overzicht
2011-245-197	7		Overzicht
2011-245-198	7		Overzicht
2011-245-199	7		Overzicht
2011-245-200	8		Overzicht
2011-245-201	8		Overzicht
2011-245-202	8	47	Vlak
2011-245-203	8		Overzicht
2011-245-204	8		Overzicht

Bijlage 4 Profielbeschrijvingen

Profiel A

1. Algemene gegevens

1. Beschrijver: Ludo Fockedeij, Studiebureau Archeologie.
2. Soort onderzoek: Archeologisch: proefsleuven.
3. Plaats: Hoeselt – L. Lambrechtsstraat.
4. Hoogteligging: 72 m TAW.
5. Coördinaten: 50°51'4.90"N ; 5°29'26.22"O.
6. Datum: Vrijdag, 18.05.2012.
7. Tijdstip: 14:29 u.
8. Landgebruik en vegetatie: Boomgaard/weide, gras.
9. Weersomstandigheden: bewolkt, zonnig, 18°C.
10. Oriëntatie: W.
11. Bodemeenheid: OT: sterk vergraven gronden.

2. Profielbeschrijving

H1

0-100 cm: Ap1: leem; bruin (10YR 4/3); kruimelig vanaf 50 cm zwak subhoekig blokkig; veel fijne plantenwortels; diffuse, onregelmatige ondergrens.

H2

100-130 cm: E: leem; grijsachtig donkerbruin (10YR 4/2); massief; bijmenging van onderste horizont; veel biogallerijen van grotere dieren; diffuse, onregelmatige ondergrens.

H3

>130 cm: B(t): leem; geelachtig donkerbruin (10YR 4/4); hoekig blokkig; kleverig; hard; veel poriën.

G(rond)W(ater)T(afel) : -- cm.

Opmerkingen : deze Bt is beter ontwikkeld dan deze op de top. Mogelijk delen van E horizont, kleur: bruin tot bleekbruin (10YR 5/3 tot 6/3).

3. Foto



4. Opmerkingen en bijzonderheden

Mogelijk zijn hier nog delen van de E horizont bewaard, wat wijst op een weinig aangetast profiel.
Mogelijk een A(p?) horizont tussen 70 en 100 cm.

Profiel B

1. Algemene gegevens

1. Beschrijver: Ludo Fockedey, Studiebureau Archeologie.
2. Soort onderzoek: Archeologisch: proefsleuven.
3. Plaats: Hoeselt – L. Lambrechtsstraat.
4. Hoogteligging: 74 m TAW.
5. Coördinaten: 50°51'3.08"N ; 5°29'24.18"O.
6. Datum: Vrijdag, 18.05.2012.
7. Tijdstip: 12:22 u.
8. Landgebruik en vegetatie: Boomgaard/weide, gras.
9. Weersomstandigheden: bewolkt, zonnig, 18°C.
10. Oriëntatie: O.
11. Bodemeenheid: OT: sterk vergraven gronden.

2. Profielbeschrijving

H1

0-60cm: Ap: leem; zeer donkerbruin tot zeer donker grijsachtig bruin (10YR 2,5/2); kruimelstructuur; rood aardewerk en houtskool; diffuse, rechte ondergrens.

H2

60-100 cm: Bt: leem; geelachtig donkerbruin (10YR 4/4); zwak subhoekig blokkig; verticale wormengangen en enkele grotere biogallerijen; diffuse, onregelmatige ondergrens.

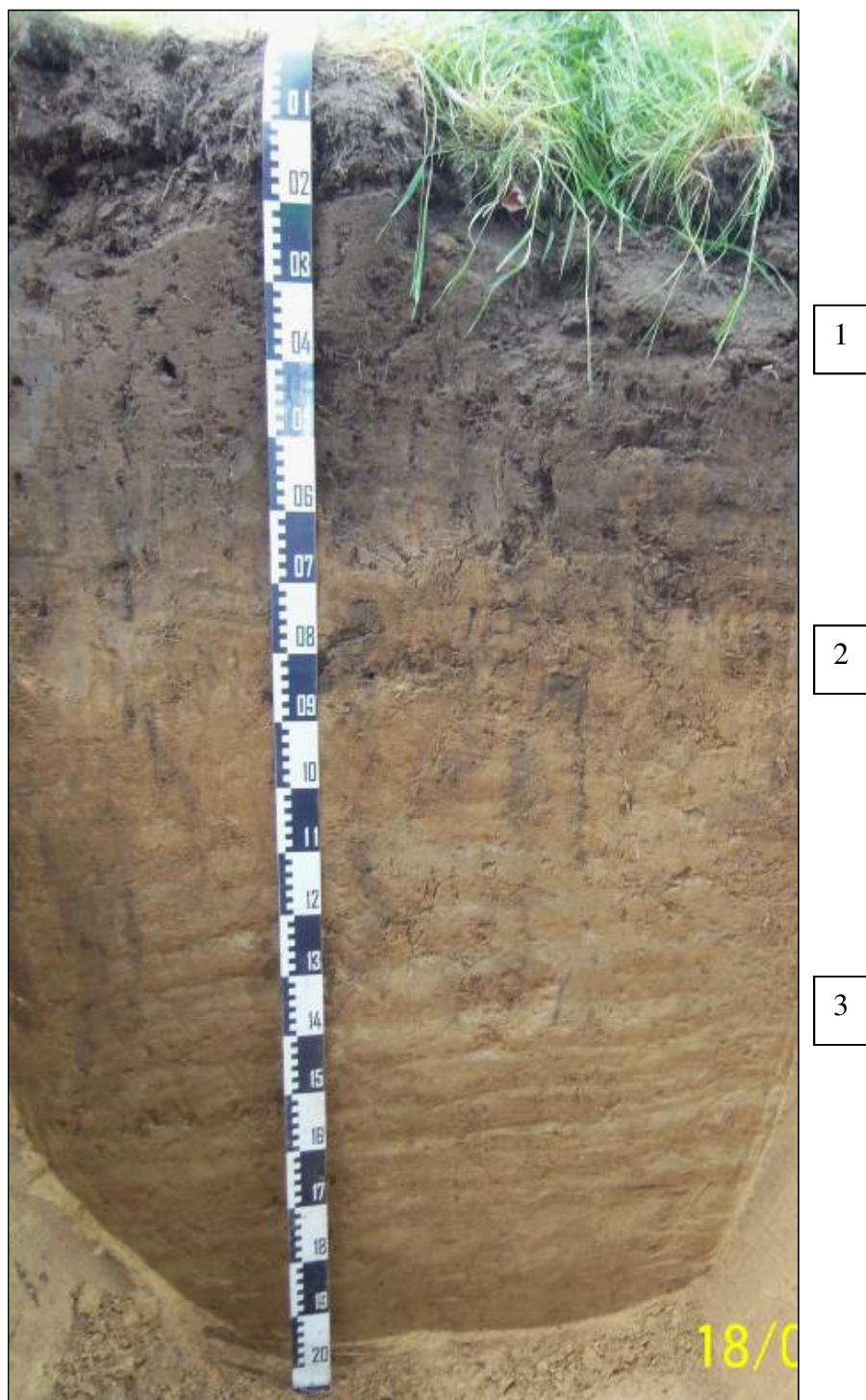
H3

100-190 cm: BC: leem; gelaagde banden; geelachtig donkerbruin (10YR 4/4) en geelachtig bruin (10YR 5/4); massief; licht kalkhoudend.

G(rond)W(ater)T(afel) : -- cm.

Opmerking:

3. Foto



4. Opmerkingen en bijzonderheden

Mogelijk ontbreekt hier de B_{2t} horizont, wat kan wijzen op een aftopping, al of niet doelbewust. Landbouw en erosie, aanleggen van een plateau (vlak).

Bijlage 5 Opgravingsplan

